



EKO-CONNECT
LABORATORIUM BADAWCZE PÓL ELEKTROMAGNETYCZNYCH

EKO-Connect Sp. z o.o.
60-591 POZNAŃ, ul. MIODOWA 14A
Tel. 790 200 181
Tel. 790 004 761
e-mail: ekoconnectlab@gmail.com



AB 1810

SPRAWOZDANIE NR OS/40/22

Z POMIARÓW NATĘŻENIA PÓL ELEKTROMAGNETYCZNYCH

WYKONANYCH DLA CELÓW OCHRONY ŚRODOWISKA

Miejsce wykonania badania: <small>(dane uzyskane od zleceniodawcy)</small>	LUB1024 Lublin, Jutrzenki 22, nr. dz. 73/2, pow. Lublin, woj. LUBELSKIE	
Współrzędne geograficzne:	51°13'48.27"N, 22°30'51.06"E	
Data wykonania pomiarów:	25.08.2022	
Data wydania sprawozdania:	26.08.2022	
Zleceniodawca:	P4 sp. z o.o. ul. Wynalazek 1, 02-667 Warszawa	
Sprawozdanie sporządził:		
Sprawozdanie autoryzował:		 Signed by / Podpisano przez:
		Date / Data: 2022-08-26 14:08

1. INFORMACJE O UŻYTKOWNIKU

1.1. Zleceniodawca: P4 sp. z o.o. ul. Wynalazek 1, 02-667 Warszawa

1.2. Charakterystyka obiektu:

- **Typ obiektu:** Instalacja radiokomunikacyjna zainstalowana na dachu budynku
- **Numer obiektu:** LUB1024
- **Adres obiektu:** Lublin, Jutrzenki 22, nr. dz. 73/2, pow. Lublin, woj. LUBELSKIE
- **Współrzędne geograficzne:** 51°13'48.27"N, 22°30'51.06"E

2. CHARAKTERYSTYKA ŹRÓDEŁ PEM (dane pozyskane od Klienta)

Tabela 1. Parametry systemu nadawczo-odbiorczego

Charakterystyka promieniowania		kierunkowa																							
Rzeczywisty czas pracy [h/dobę]		24																							
Rodzaj wytwarzanego pola		stacjonarne																							
Lp	Wyszczególnienie	sektor 1						sektor 2						sektor 3											
	Nadajnik stacji bazowej:																								
1	Typ / Producent	RBS / SRAN Ericsson																							
2	Częstotliwość (pasmo) MHz	900	800	260	210	180	260	210	180	900	800	260	210	180	260	210	180	900	800	260	210	180	260	210	180
3	Maksymalna moc nadawana na sektor [dBm]	47,78	49,03	49,03	50	50	49,03	50	50	47,78	49,03	49,03	50	50	49,03	50	50	47,78	49,03	49,03	50	50	49,03	50	50
Obciążenie:																									
1	Typ anteny	Huawei A704516R0	Huawei ADU4518R6	Huawei ADU4518R6	Huawei A704516R0	Huawei ADU4518R6	Huawei ADU4518R6	Huawei A704516R0	Huawei ADU4518R6	Huawei ADU4518R6	Huawei A704516R0	Huawei ADU4518R6	Huawei ADU4518R6	Huawei A704516R0	Huawei ADU4518R6	Huawei ADU4518R6	Huawei A704516R0	Huawei ADU4518R6	Huawei ADU4518R6	Huawei A704516R0	Huawei ADU4518R6	Huawei ADU4518R6	Huawei A704516R0	Huawei ADU4518R6	Huawei ADU4518R6
2	Producent anteny	Huawei	Huawei	Huawei	Huawei	Huawei	Huawei	Huawei	Huawei	Huawei	Huawei	Huawei	Huawei	Huawei	Huawei	Huawei	Huawei	Huawei	Huawei	Huawei	Huawei	Huawei	Huawei	Huawei	Huawei
3	Ilość anten	1	1	1	1	1	1	1	1	1	1	1	1	1	1	1	1	1	1	1	1	1	1	1	1
4	Azymut	5						120						238											
5	Zakres kątów pochylecia anten [°]	0,00-12,00						0,00-12,00						0,00-12,00											
6	Wysokość zainst. n.p.t. [m]	34,10	34,50	34,50	34,10	34,50	34,50	34,10	34,50	34,50	34,10	34,50	34,50	34,10	34,50	34,50	34,10	34,50	34,50	34,10	34,50	34,50	34,10	34,50	34,50
7	EIRP [W]	4440	11482	11482	4440	11482	11482	4440	11482	11482	4440	11482	11482	4440	11482	11482	4440	11482	11482	4440	11482	11482	4440	11482	11482

Tabela 2. Parametry radiolinii

Charakterystyka promieniowania		kierunkowa					
Rzeczywisty czas pracy [h/dobę]		24					
Rodzaj wytwarzanego pola		stacjonarne					
Lp	Linia radiowa			Antena			
	typ/producent	częstotliwość pracy [GHz]	moc wyjściowa [dBm]	typ/producent	średnica anteny [m]	azymut [°]	wysokość zainstal. [m]
Brak radiolinii							

Inne źródła PEM: W obszarze pomiarowym badanego obiektu nie występują inne źródła promieniowania pola elektromagnetycznego, które w zakresie badanych częstotliwości bezpośrednio wpływają na wynik wartości mierzonej natężenia pola.

3. OPIS POMIARÓW

Cel badań: Sprawdzenie dotrzymania dopuszczalnych poziomów pól elektromagnetycznych, w otoczeniu instalacji wytwarzających takie pola.

3.1. Data pomiarów: 25.08.2022

3.2. Nazwiska osób wykonujących pomiary: Wojciech Lubiński

3.3. Osoba towarzysząca: brak

3.4. Aparatura pomiarowa:

Tabela 3. Opis zestawu pomiarowego

Nazwa	Typ/model	Numer fabryczny/SN	Świadectwo wzorcowania	Zastosowanie
Szerokopasmowy miernik natężenia pola elektromagnetycznego	NBM- 520	D-2228	LWiMP/W/088/22 z dnia 19.05.2022 (Laboratorium Wzorców i Metrologii Pola Elektromagnetycznego Instytutu Telekomunikacji, Teleinformatyki i Akustyki Politechniki Wrocławskiej)	Pomiary pola elektromagnetycznego
Sonda pomiarowa pola elektrycznego	EF-9091	A-0139		Pomiary pola elektromagnetycznego
Termohigrometr	ETI 600 224-600	D22060186	LTWP/326/2022 z dnia 10.05.2022 (LPTW)	Pomiary wilgotności względnej powietrza Pomiary temperatury powietrza
Dalmierz laserowy	TLM99	90562620521214	1688/AM/21 z dnia 12.05.2021 (Laboratorium pomiarowe MUTECH)	Pomiar odległości
Odbiornik GPS	Garmin GLO 2	1792A-A1156	-	Pomiar współrzędnych geograficznych

3.5. Wyznaczenie niepewności pomiarów:

Ocenę niepewności przyjmuje się zgodnie z procedurą stosowaną w laboratorium

Wyznaczona niepewność pomiaru dla zestawu pomiarowego z pkt.3.5 w dniu pomiaru wynosi 21,46%.

3.6. Kryteria przedstawiania stwierdzeń zgodności

Niniejsze sprawozdanie zgodnie z zasadami systemu akredytacji zawiera stwierdzenia zgodności.

W przypadku badań poziomów pola elektromagnetycznego w środowisku stwierdzenie zgodności dotyczy rozstrzygnięcia, czy zmierzona wartość opisująca pole elektromagnetyczne przekracza wartość dopuszczalną dla zakresu częstotliwości, w którym pracują źródła podaną w Rozporządzeniu Ministra Zdrowia z dnia 17 grudnia 2019 r. w sprawie dopuszczalnych poziomów pól elektromagnetycznych w środowisku (Dz. U. z 2019 r. poz. 2448).

3.7. Metodyka wykonania pomiarów:

Zastosowano metodę znormalizowaną w oparciu o Rozporządzenie Ministra Klimatu i Środowiska z dnia 6 maja 2022 r. zmieniające rozporządzenie w sprawie sposobów sprawdzania dotrzymania dopuszczalnych poziomów pól elektromagnetycznych w środowisku (Dz.U. 2022 poz. 1121)

3.8. Przepisy prawne:

- Ustawa z dnia 27 kwietnia 2001 r. Prawo ochrony środowiska (Dz. U. z 2019 r. poz. 1396 późn.zm.),
- Rozporządzenie Ministra Zdrowia z dnia 17 grudnia 2019 r. w sprawie dopuszczalnych poziomów pól elektromagnetycznych w środowisku (Dz. U. z 2019 r. poz. 2448).
- Rozporządzenie Ministra Klimatu i Środowiska z dnia 6 maja 2022 r. zmieniające rozporządzenie w sprawie sposobów sprawdzania dotrzymania dopuszczalnych poziomów pól elektromagnetycznych w środowisku (Dz.U. 2022 poz. 1121)

3.9. Opis pomiarów

Stacja bazowa LUB1024 usytuowana jest na wieży typu kratowej zlokalizowanej pod adresem Lublin, Jutrzenki 22, nr. dz. 73/2, pow. Lublin, woj. LUBELSKIE. Anteny i moduły RRU zamontowane są na antenowych konstrukcjach wsporczych a urządzenia są w szafie APM zainstalowanej u podnóża wieży. W otoczeniu stacji znajdują się tereny zurbanizowane – bloki mieszkalne, budynki handlowo usługowe. Analiza parametrów technicznych wykazała, że urządzenia nadawcze stacji pracują w paśmie częstotliwości zgodnie z tabelą 1 oraz tabelą 2. Moc wyjściowa nadajników doprowadzona jest do anten przy pomocy ekranowanych fiderów.

Pomiary w otoczeniu Stacji bazowej wykonano wzdłuż kierunków maksymalnego zasięgu oddziaływania pola elektromagnetycznego na azymucie anten sektorowych do odległości 350 m od obiektu, w godzinach od 13:00 do 14:30, podczas rzeczywistej pracy urządzeń wytwarzających pola elektromagnetyczne. Pomiary wykonano dla średniego pochylenia wiązki liczonego jako średnia arytmetyczna z minimalnej i maksymalnej wartości stosowanego lub planowanego kąta pochylenia

Pomiary w przyjętych pionach pomiarowych wykonano w punktach położonych na wysokościach od 0,3 m do 2,0 m nad powierzchnią ziemi lub nad innymi powierzchniami, na których mogą przebywać ludzie, przyjmując za wynik pomiaru maksymalny poziom natężenie pól elektromagnetycznego.

Przy doborze pionów pomiarowych uwzględniono charakter i sposób zagospodarowania terenu otaczającego stację bazową.

3.10. Warunki meteorologiczne / środowiskowe:

Miejsce pomiaru	Temperatura (start pomiarów/koniec) [°C]	Wilgotność (start pomiarów/koniec) [%]	Opady atmosferyczne
Dach	27,0/26,8	49,1/49,0	nie wystąpiły

3.11. Sposób identyfikacji widma częstotliwości:

Parametry stacji bazowej uzyskane od właściciela instalacji stacji bazowej.

4. WYNIKI POMIARÓW

Wyniki pomiarów ważne są jedynie dla danej konfiguracji urządzeń w dniu, w którym wykonano pomiary.

Wynik pomiaru, to maksymalna wartości chwilowa zmierzona w danym pionie pomiarowym powiększona o rozszerzoną niepewność pomiaru U dla współczynnika rozszerzenia $k = 2$.

Tabela 3. Dopuszczalne poziomy pól elektromagnetycznych

Parametr fizyczny Zakres częstotl. pola elektromagnetycznego	Składowa elektryczna	Składowa magnetyczna
od 400 MHz do 2000 MHz	$1,375 \times f^{0,5}$ V/m	$0,0375 \times f^{0,5}$ A/m
Od 2 GHz do 300 GHz	61 V/m	0,16 A/m

Do wyznaczania wartości wskaźnikowych WM_E i WM_H przyjęto najniższe wartości dopuszczalne poziomów pól elektromagnetycznych w/w zakresów częstotliwości.

Tabela 4. Wyniki pomiarów

Nr pionu	Opis miejsca pomiaru	Współrzędne geograficzne		E_p [V/m]	U [V/m]	$E_p + U$ [V/m]	H [A/m]	WM_E	WM_H	Przekroczenie wartości dopuszczalnej
		[°] N	[°] E							
1	Poziom gruntu - oś głównej wiązki anteny sektorowej azymut 5st	51,230400299	22,514258624	1,43	0,31	1,74	0,005	0,06	0,062	nie przekracza
2	Poziom gruntu - oś głównej wiązki anteny sektorowej azymut 5st	51,230550835	22,514288457	1,74	0,38	2,12	0,006	0,08	0,076	nie przekracza
3	Poziom gruntu - oś głównej wiązki anteny sektorowej azymut 5st	51,230665792	22,514297224	1,59	0,35	1,94	0,005	0,07	0,070	nie przekracza
4	Poziom gruntu - oś głównej wiązki anteny sektorowej azymut 5st	51,230798656	22,514312600	1,63	0,35	1,98	0,005	0,07	0,071	nie przekracza
5	Poziom gruntu - oś głównej wiązki anteny sektorowej azymut 5st	51,230958809	22,514351032	1,40	0,31	1,71	0,005	0,06	0,061	nie przekracza
6	Poziom gruntu - oś głównej wiązki anteny sektorowej azymut 5st	51,231167453	22,514364322	1,55	0,34	1,89	0,005	0,07	0,031	nie przekracza
7	Poziom gruntu - oś głównej wiązki anteny sektorowej azymut 5st	51,231381879	22,514404272	1,63	0,35	1,98	0,005	0,07	0,033	nie przekracza
8	Poziom gruntu - oś głównej wiązki anteny sektorowej azymut 5st	51,231570422	22,514429139	1,55	0,34	1,89	0,005	0,07	0,031	nie przekracza
9	Poziom gruntu - oś głównej wiązki anteny sektorowej azymut 5st	51,231796737	22,514456887	1,65	0,36	2,01	0,005	0,07	0,033	nie przekracza
10	Poziom gruntu - oś głównej wiązki anteny sektorowej azymut 5st	51,231963537	22,514493205	1,55	0,34	1,89	0,005	0,07	0,031	nie przekracza
11	Poziom gruntu - oś głównej wiązki anteny sektorowej azymut 5st	51,232165376	22,514513844	1,69	0,37	2,06	0,005	0,07	0,034	nie przekracza
12	Poziom gruntu - oś głównej wiązki anteny sektorowej azymut 5st	51,232430868	22,514552447	1,74	0,38	2,12	0,006	0,08	0,076	nie przekracza
13	Poziom gruntu - oś głównej wiązki anteny sektorowej azymut 5st	51,232747270	22,514594933	1,36	0,30	1,66	0,004	0,06	0,060	nie przekracza
14	Poziom gruntu - oś głównej wiązki anteny sektorowej azymut 5st	51,233026058	22,514629308	1,42	0,31	1,73	0,005	0,06	0,062	nie przekracza
15	Poziom gruntu - oś głównej wiązki anteny sektorowej azymut 5st	51,233389490	22,514679095	1,31	0,29	1,60	0,004	0,06	0,057	nie przekracza

Nr pionu	Opis miejsca pomiaru	Współrzędne geograficzne		E_p [V/m]	U [V/m]	$E_p + U$ [V/m]	H [A/m]	WME	WMH	Przekroczenie wartości dopuszczalnej
		[°] N	[°] E							
16	Poziom gruntu - oś głównej wiązki anteny sektorowej azymut 120st	51,230204272	22,514516570	1,51	0,33	1,84	0,005	0,07	0,066	nie przekracza
17	Poziom gruntu - oś głównej wiązki anteny sektorowej azymut 120st	51,230109743	22,514791757	1,44	0,31	1,75	0,005	0,06	0,063	nie przekracza
18	Poziom gruntu - oś głównej wiązki anteny sektorowej azymut 120st	51,229986628	22,515141086	1,40	0,31	1,71	0,005	0,06	0,061	nie przekracza
19	Poziom gruntu - oś głównej wiązki anteny sektorowej azymut 120st	51,229789608	22,515637421	1,26	0,28	1,54	0,004	0,06	0,055	nie przekracza
20	Poziom gruntu - oś głównej wiązki anteny sektorowej azymut 120st	51,229718308	22,515857134	1,33	0,29	1,62	0,004	0,06	0,058	nie przekracza
21	Poziom gruntu - oś głównej wiązki anteny sektorowej azymut 120st	51,229585743	22,516201919	1,40	0,31	1,71	0,005	0,06	0,061	nie przekracza
22	Poziom gruntu - oś głównej wiązki anteny sektorowej azymut 120st	51,229443714	22,516622304	1,52	0,33	1,85	0,005	0,07	0,066	nie przekracza
23	Poziom gruntu - oś głównej wiązki anteny sektorowej azymut 120st	51,229324474	22,516922309	1,37	0,30	1,67	0,004	0,06	0,060	nie przekracza
24	Poziom gruntu - oś głównej wiązki anteny sektorowej azymut 120st	51,228941483	22,517315762	1,22	0,27	1,49	0,004	0,05	0,053	nie przekracza
25	Poziom gruntu - oś głównej wiązki anteny sektorowej azymut 120st	51,228846845	22,517777542	1,28	0,28	1,56	0,004	0,06	0,056	nie przekracza
26	Poziom gruntu - oś głównej wiązki anteny sektorowej azymut 120st	51,228786967	22,518189021	1,23	0,27	1,50	0,004	0,05	0,054	nie przekracza
27	Poziom gruntu - oś głównej wiązki anteny sektorowej azymut 120st	51,228741138	22,518554550	1,23	0,27	1,50	0,004	0,05	0,054	nie przekracza
28	Poziom gruntu - oś głównej wiązki anteny sektorowej azymut 238st	51,230211250	22,514026776	1,22	0,27	1,49	0,004	0,05	0,053	nie przekracza
29	Poziom gruntu - oś głównej wiązki anteny sektorowej azymut 238st	51,230138085	22,513831292	1,37	0,30	1,67	0,004	0,06	0,060	nie przekracza
30	Poziom gruntu - oś głównej wiązki anteny sektorowej azymut 238st	51,230039403	22,513593321	1,40	0,31	1,71	0,005	0,06	0,061	nie przekracza
31	Poziom gruntu - oś głównej wiązki anteny sektorowej azymut 238st	51,229974826	22,513424099	1,55	0,34	1,89	0,005	0,07	0,068	nie przekracza
32	Poziom gruntu - oś głównej wiązki anteny sektorowej azymut 238st	51,229899812	22,513245546	1,63	0,35	1,98	0,005	0,07	0,071	nie przekracza
33	Poziom gruntu - oś głównej wiązki anteny sektorowej azymut 238st	51,229836955	22,513063652	1,77	0,38	2,15	0,006	0,08	0,077	nie przekracza
34	Poziom gruntu - oś głównej wiązki anteny sektorowej azymut 238st	51,229727898	22,512814226	1,86	0,40	2,26	0,006	0,08	0,081	nie przekracza
35	Poziom gruntu - oś głównej wiązki anteny sektorowej azymut 238st	51,229637490	22,512568355	1,71	0,37	2,08	0,006	0,07	0,075	nie przekracza
36	Poziom gruntu - oś głównej wiązki anteny sektorowej azymut 238st	51,229552549	22,512363444	1,73	0,38	2,11	0,006	0,08	0,076	nie przekracza
37	Poziom gruntu - oś głównej wiązki anteny sektorowej azymut 238st	51,229486697	22,512191993	1,51	0,33	1,84	0,005	0,07	0,066	nie przekracza
38	Poziom gruntu - oś głównej wiązki anteny sektorowej azymut 238st	51,229386362	22,511919764	1,42	0,31	1,73	0,005	0,06	0,062	nie przekracza
39	Poziom gruntu - oś głównej wiązki anteny sektorowej azymut 238st	51,229266936	22,511614076	1,61	0,35	1,96	0,005	0,07	0,070	nie przekracza
40	Poziom gruntu - oś głównej wiązki anteny sektorowej azymut 238st	51,229187020	22,511420219	1,40	0,31	1,71	0,005	0,06	0,061	nie przekracza
41	Poziom gruntu - oś głównej wiązki anteny sektorowej azymut 238st	51,228978070	22,510883674	1,22	0,27	1,49	0,004	0,05	0,053	nie przekracza
42	Poziom gruntu - oś głównej wiązki anteny sektorowej azymut 238st	51,228821971	22,510482626	1,36	0,30	1,66	0,004	0,06	0,060	nie przekracza

Nr pionu	Opis miejsca pomiaru	Współrzędne geograficzne		E _p [V/m]	U [V/m]	E _p + U [V/m]	H [A/m]	WM _E	WM _H	Przekroczenie wartości dopuszczalnej
		[°] N	[°] E							
43	Poziom gruntu - oś głównej wiazki anteny sektorowej azymut 238st	51,228656862	22,510060071	1,23	0,27	1,50	0,004	0,05	0,054	nie przekracza
44	Poziom gruntu - pomocniczy pion pomiarowy	51,230365797	22,513856940	1,37	0,30	1,67	0,004	0,06	0,060	nie przekracza
45	Poziom gruntu - pomocniczy pion pomiarowy	51,23052398	22,51460523	1,50	0,33	1,83	0,005	0,07	0,066	nie przekracza
46	Poziom gruntu - pomocniczy pion pomiarowy	51,22926251	22,51580458	1,49	0,32	1,81	0,005	0,06	0,065	nie przekracza
47	Poziom gruntu - pomocniczy pion pomiarowy	51,23073725	22,51470134	1,32	0,29	1,61	0,004	0,06	0,058	nie przekracza
48	Poziom gruntu - pomocniczy pion pomiarowy	51,22971821	22,51457225	1,40	0,31	1,71	0,005	0,06	0,061	nie przekracza
49	Poziom gruntu - pomocniczy pion pomiarowy	51,23053228	22,51631952	1,33	0,29	1,62	0,004	0,06	0,058	nie przekracza
50	Poziom gruntu - pomocniczy pion pomiarowy	51,23130783	22,51575059	1,43	0,31	1,74	0,005	0,06	0,062	nie przekracza
51	Poziom gruntu - pomocniczy pion pomiarowy	51,2294964	22,51441398	1,45	0,32	1,77	0,005	0,06	0,063	nie przekracza
52	Poziom gruntu - pomocniczy pion pomiarowy	51,2289304	22,51289831	1,23	0,27	1,50	0,004	0,05	0,054	nie przekracza
53	Klatka, 4p, otw. okno - pomocniczy pion pomiarowy	-----	-----	3,30	0,71	4,01	0,011	0,14	0,144	nie przekracza
54	Klatka, 4p, otw. okno - pomocniczy pion pomiarowy	-----	-----	3,11	0,67	3,78	0,010	0,14	0,135	nie przekracza
55	Poziom gruntu - pomocniczy pion pomiarowy	51,2299916	22,51219863	1,27	0,28	1,55	0,004	0,06	0,056	nie przekracza
56	Poziom gruntu - pomocniczy pion pomiarowy	51,23035206	22,51206796	1,31	0,29	1,60	0,004	0,06	0,057	nie przekracza
57	Poziom gruntu - pomocniczy pion pomiarowy	51,22866409	22,51584425	1,22	0,27	1,49	0,004	0,05	0,053	nie przekracza
58	Poziom gruntu - pomocniczy pion pomiarowy	51,23163725	22,5131716	1,16	0,25	1,41	0,004	0,05	0,051	nie przekracza
59	Klatka, 4p, otw. okno - pomocniczy pion pomiarowy	-----	-----	3,00	0,65	3,65	0,010	0,13	0,131	nie przekracza

Objaśnienia:

$$E_p: E_{poprawne} = E_{wskazane} * C_{d(E)} * C_{f(f)}$$

U - rozszerzona niepewność pomiaru dla współczynnika rozszerzenia k=2 (poziom ufności 95%) – $U = k \times U_c$

H – wyznaczona wartość natężenia pola magnetycznego z uwzględnieniem współczynnika korekcyjnego oraz rozszerzonej niepewności pomiaru.

WM_E - wartość wskaźnikowa poziomu oddziaływania pól elektromagnetycznych dla miejsc dostępnych dla ludności dla składowej elektrycznej pola.

WM_H - wartość wskaźnikowa poziomu oddziaływania pól elektromagnetycznych dla miejsc dostępnych dla ludności dla składowej magnetycznej pola.

* wartość zmierzona poniżej zakresu akredytacji

5. WNIOSKI

Stwierdza się, iż na podstawie uzyskanych wyników pomiarów i informacji uzyskanych od operatora, w otoczeniu stacji bazowej telefonii komórkowej LUB1024 w miejscach dostępnych dla ludności, w których dokonano pomiaru, nie zostały przekroczone wartości graniczne poziomów pól elektromagnetycznych określonych w Rozporządzeniu Ministra Zdrowia z dnia 17 grudnia 2019 r. w sprawie dopuszczalnych poziomów pól elektromagnetycznych w środowisku (Dz. U. z 2019 r. poz. 2448).

W przypadku wprowadzenia na części albo całym terytorium Rzeczypospolitej Polskiej stanu nadzwyczajnego, o którym mowa w art. 228 ust. 1 Konstytucji Rzeczypospolitej Polskiej z dnia 2 kwietnia 1997 r. (Dz. U. poz. 483, z 2001 r. poz. 319, z 2006 r. poz. 1471 oraz z 2009 r. poz. 946), lub stanu zagrożenia epidemicznego lub stanu epidemii, o których mowa w art. 46 ustawy z dnia 5 grudnia 2008 r. o zapobieganiu oraz zwalczaniu zakażeń i chorób zakaźnych u ludzi (Dz. U. z 2020 r. poz. 1845, z późn. zm.), pomiarów, o których mowa w ust. 1, nie przeprowadza się w lokalach mieszkalnych oraz w lokalach użytkowych zlokalizowanych na terytorium objętym stanem nadzwyczajnym, stanem zagrożenia epidemicznego lub stanem epidemii.

- Sprawozdanie zawiera 9 stron.
- załączniki: nr 1 – mapa z rozmieszczeniem pionów pomiarowych wokół obiektu,

Bez pisemnego zezwolenia laboratorium EKO-CONNECT Sp. z o.o. sprawozdanie nie może być powielane inaczej, jak tylko w całości.

■ Otrzymują:

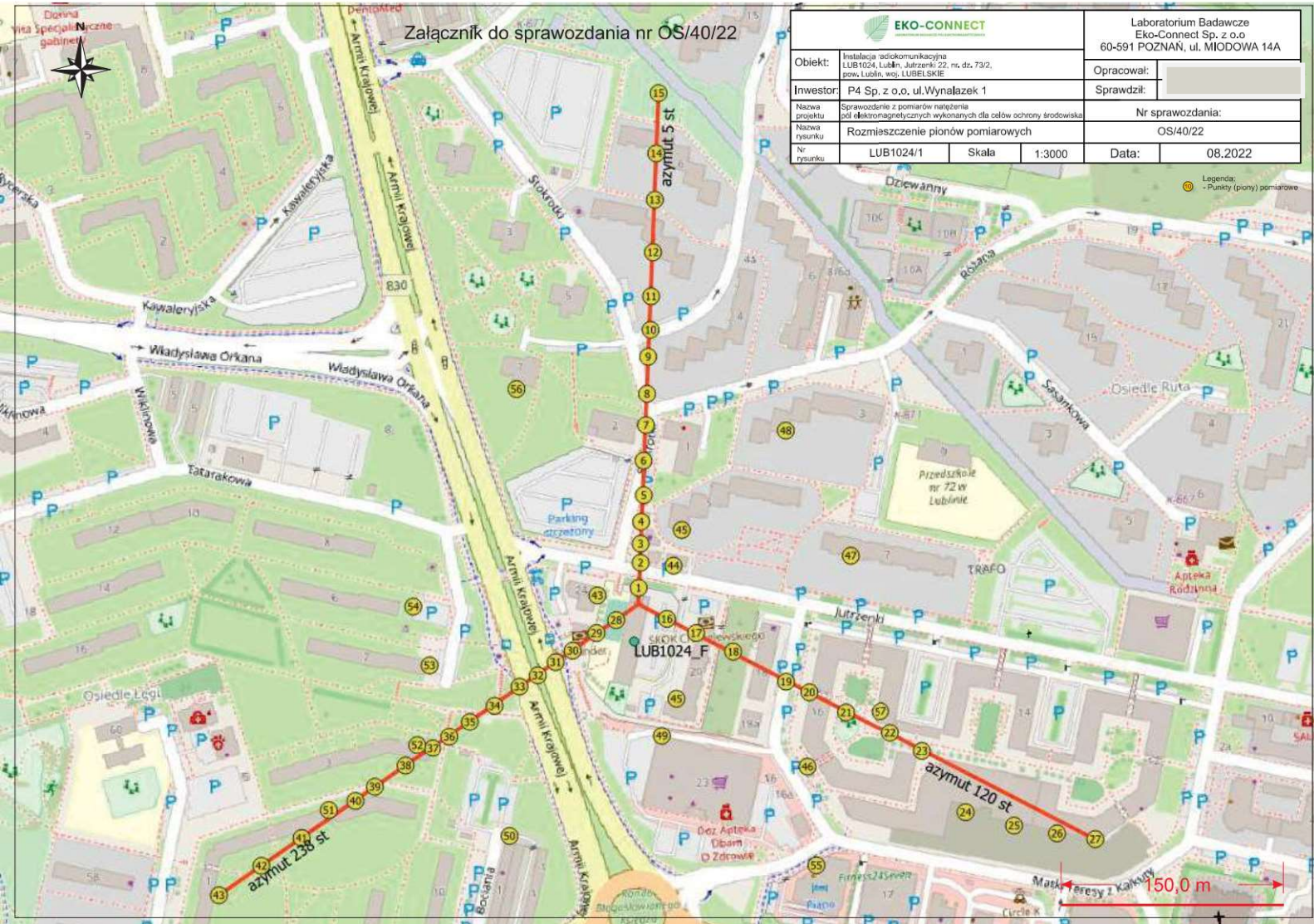
1. Zleceniodawca: - 1 egz.
2. a / a: 1 egz

KONIEC SPRAWOZDANIA

Poznań, dn.26.08.2022 r.

Załącznik do sprawozdania nr OS/40/22

		Laboratorium Badawcze Eko-Connect Sp. z o.o 60-591 POZNAŃ, ul. MŁODOWA 14A	
Obiekt:	Instalacja radiokomunikacyjna LUB1024, Lublin, Jutrzenki 22, nr. dz. 79/2, gmina Lublin, woj. LUBELSKIE	Opracował:	
Investor:	P4 Sp. z o.o, ul. Wynalazek 1	Sprawił:	
Nazwa projektu:	Sprawozdanie z pomiarów natężenia pól elektromagnetycznych wykonanych dla celów ochrony środowiska	Nr sprawozdania:	OS/40/22
Nazwa rysunku:	Rozmieszczenie pionów pomiarowych	Data:	08.2022
Nr rysunku:	LUB1024/1	Skala:	1:3000



Legenda:
● - Punkty (piony) pomiarowe